

図 4.1 一変数関数 $f(x)$ の泰勒展開の一次の項の説明。

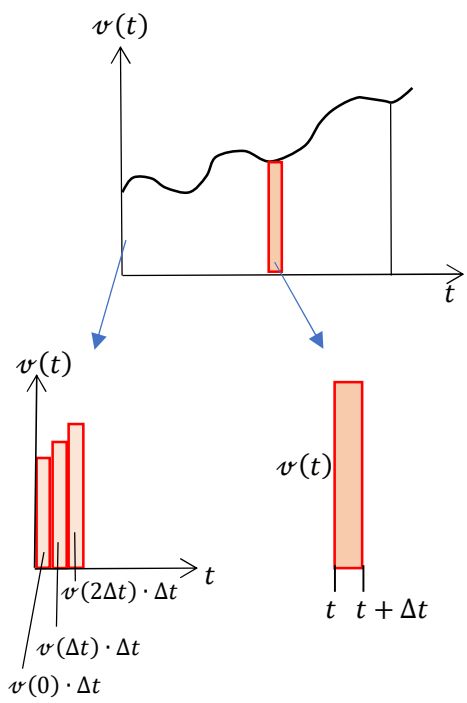


図 4.2 $v(t) - t$ のグラフ

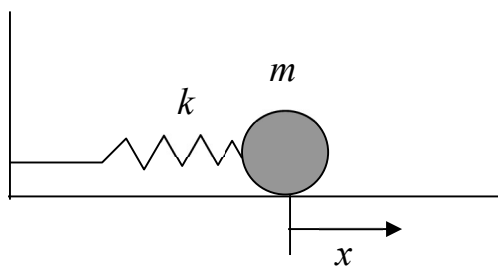


図 4-3. ばねにつながれた 1 粒子

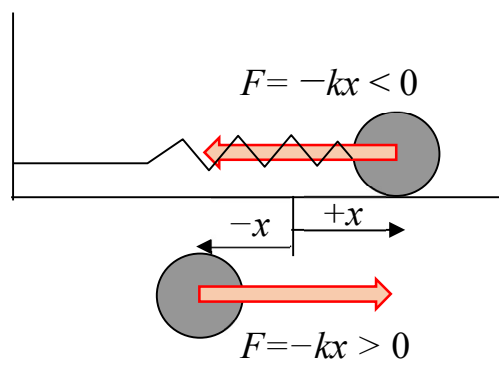


図 4-4 $F = -kx$ は変位が右向きのとき力は左向き、変位が左向きのとき力は右向きとなる。

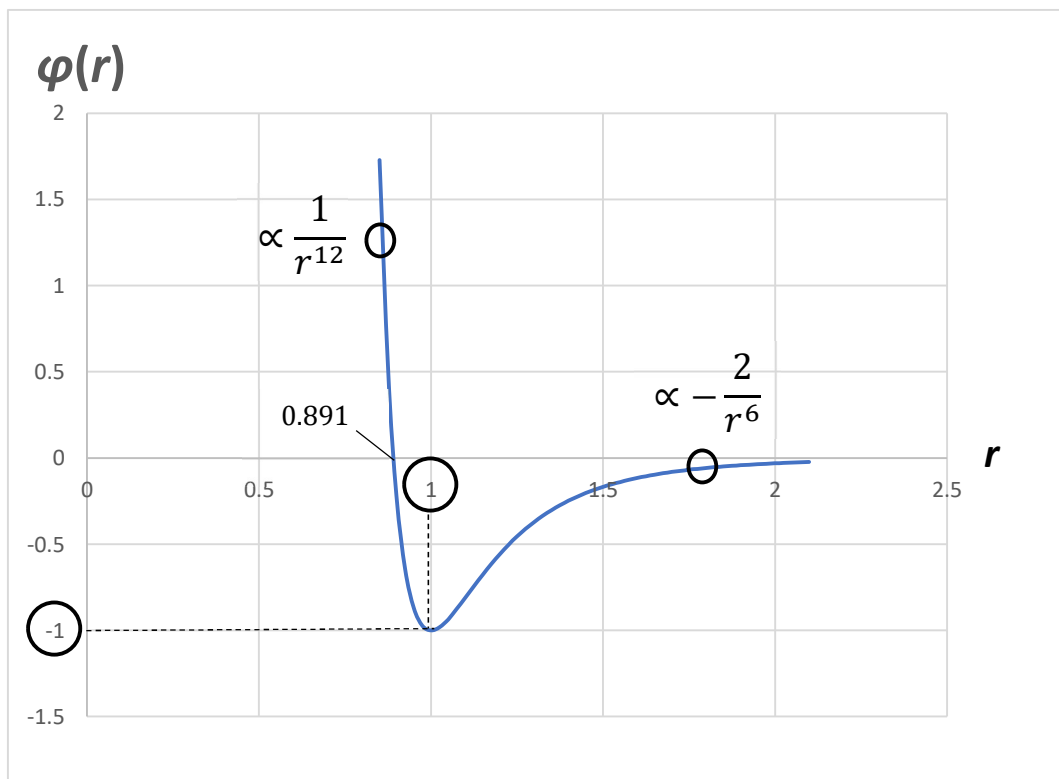


図 4-5. レナード・ジョーンズポテンシャル $\varphi(r) = \frac{1}{r^{12}} - 2\frac{1}{r^6}$ の概形

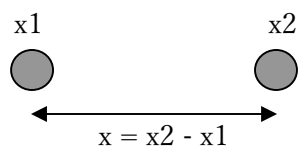


図 4-6. 2 粒子運動の座標設定

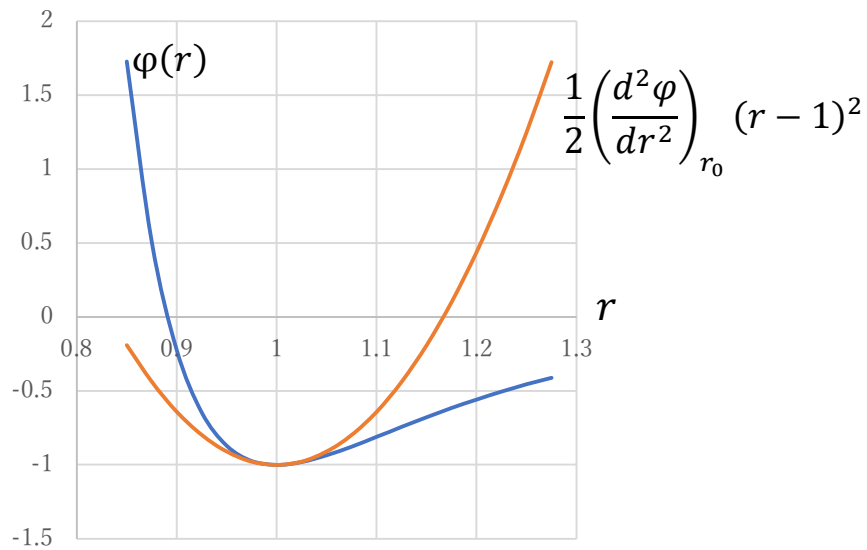


図 4-7. レナード・ジョーンズポテンシャル $\varphi(r) = \frac{1}{r^{12}} - 2\frac{1}{r^6}$ と、その平衡点 $r_0 = 1$ の近傍でのばね近似 $\varphi(r) \approx \frac{1}{2} \left(\frac{d^2 \varphi}{dr^2} \right)_{r_0} (r - 1)^2$

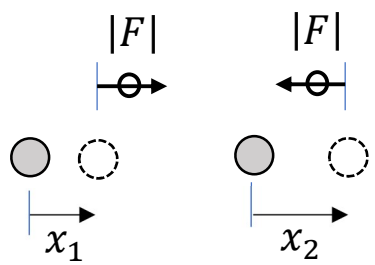


図 4-8. 2 粒子振動の力の大きさ $|F|$ と向き

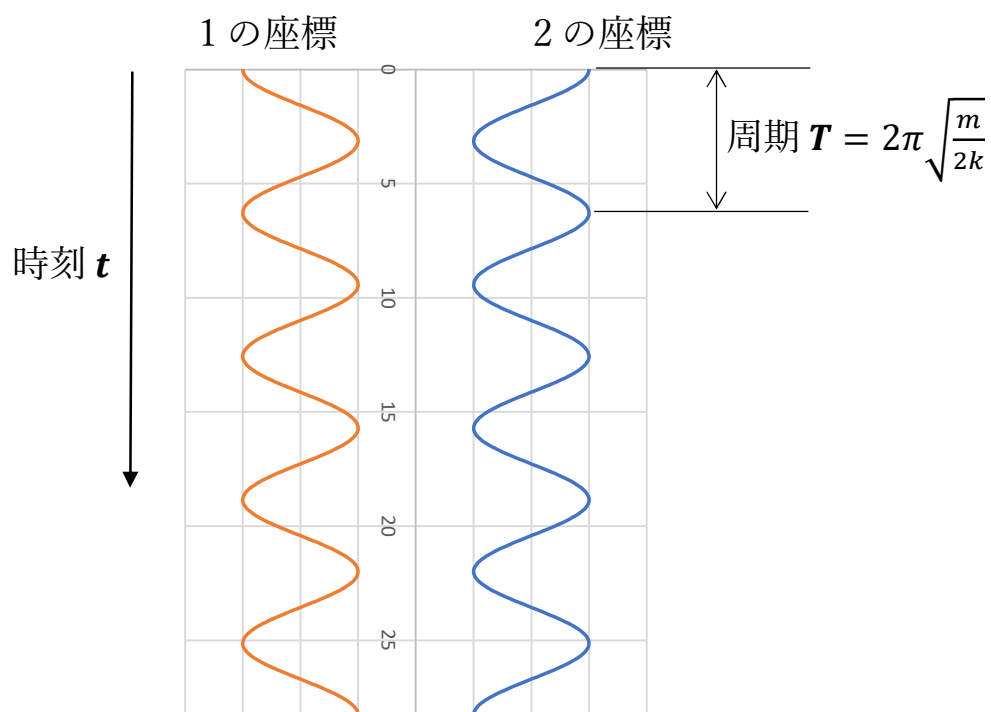
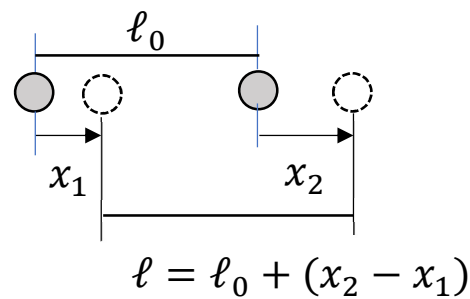


図 4-9. 結合長の伸縮の単振動

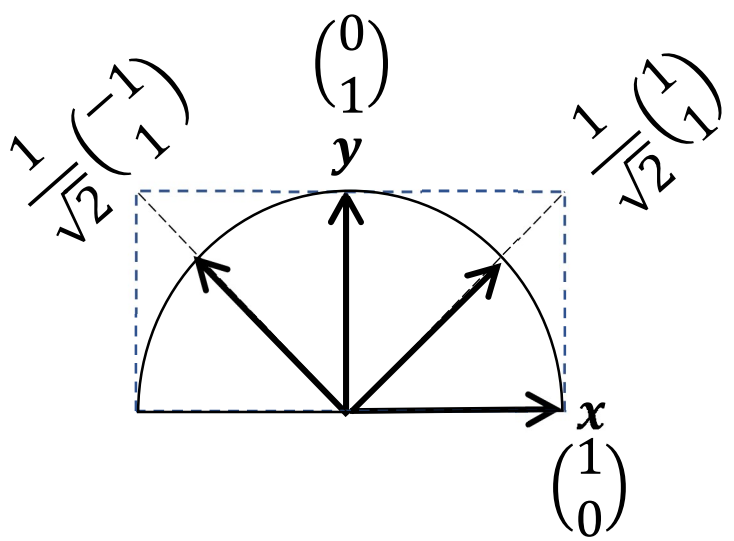


図 4-10 基本ベクトルから固有ベクトルへの一次変換

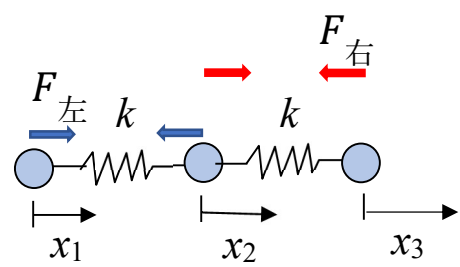


図 4-11 3 原子連成振動

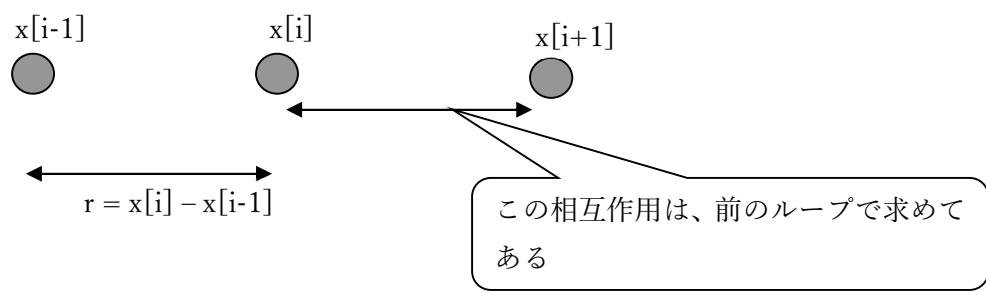
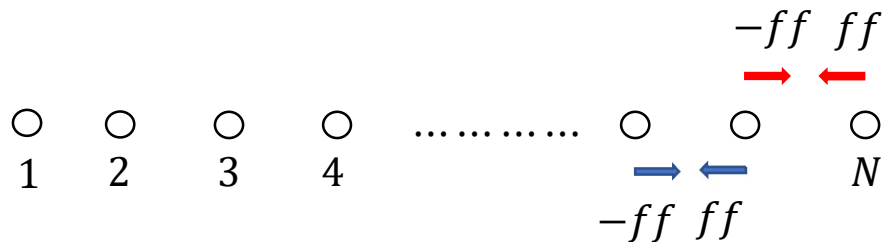


図 4-12 i 番目の原子の力を求める

N 粒子系



3粒子系

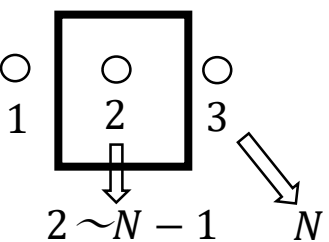


図 4-13 力の計算の手続き。3 粒子の場合を拡張して N 粒子の場合を理解する

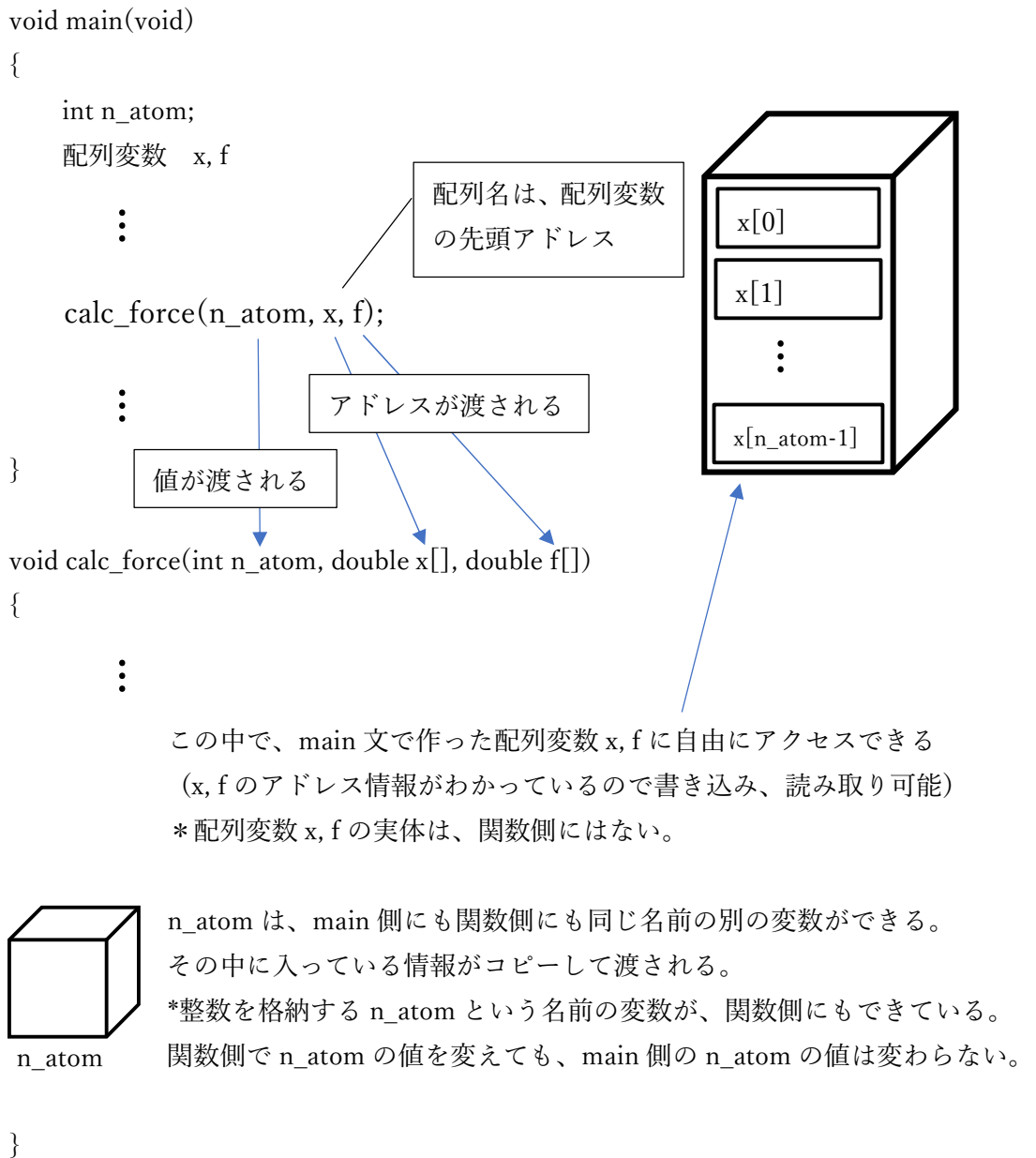
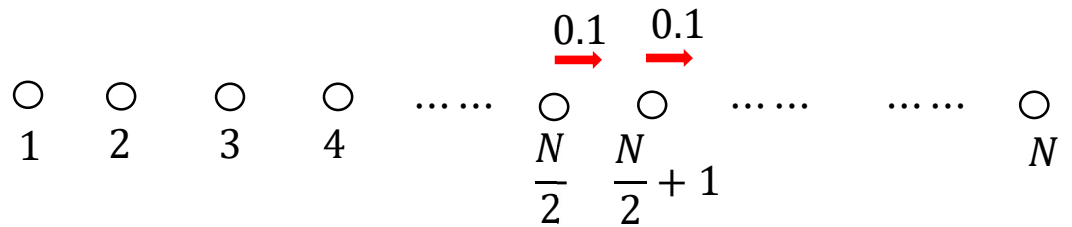


図 4-14 値呼び出し（値がコピーされて関数に渡される）と参照呼出し（配列変数の先頭アドレスが関数に渡される）



変数 $x[i]$ には、位置が入る。

関数 initial_cond の中で、初めの for 文($i=1 \sim n_atom$)で $x[i]=i$ (格子点に配置)

その後真ん中だけずらす。 $x[n_atom/2] += 0.1$ (今の値に 0.1 をプラス)

$x[n_atom/2 + 1] += 0.1$

printf 文で出力する情報は、各粒子の変位である。つまり

$x[i] - (double)i$ (今の位置座標 - 平衡格子点位置)

初期状態の時、変位分布は下図のようになる。

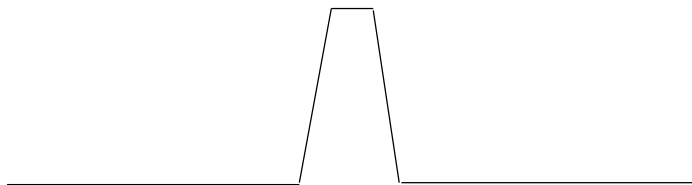


図 4-15 初期条件の与え方

`printf` を解読すれば、エクセルファイルは下図のようになることがわかる。

n		u(1)		u(2)		u(N)		v(1)		v(2)		v(N)				
整数	タブ	実数	タブ	実数	タブ	……	実数	タブ	実数	タブ	実数	タブ	……	実数	タブ	改行
●	●	●	●	●	●		●	●	●	●	●	●		●	●	●
●	●	●	●	●	●		●	●	●	●	●	●		●	●	●
●	●	●	●	●	●		●	●	●	●	●	●		●	●	●
●	●	●	●	●	●		●	●	●	●	●	●		●	●	●
●	●	●	●	●	●		●	●	●	●	●	●		●	●	●
●	●	●	●	●	●		●	●	●	●	●	●		●	●	●

* タブ、改行は特殊文字なので、実際には見えない。

整数 n は、ある時刻を表すから、例えば n=0 のときと n=100 の行で、それぞれ変位のみの情報を選択して 2D 折れ線線表示すれば、それが、それぞれの瞬間の変位分布となる。(弦で言えば弦の形になる)

n		u(1)		u(2)		u(N)		v(1)		v(2)		v(N)				
整数	タブ	実数	タブ	実数	タブ	……	実数	タブ	実数	タブ	実数	タブ	……	実数	タブ	改行
1																
100																

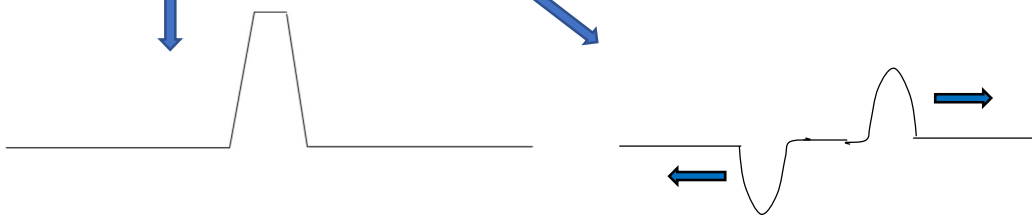


図 4.16 エクセルによるグラフの書き方

```
int i;
```

→ 32 ビットのメモリを確保して整数を格納

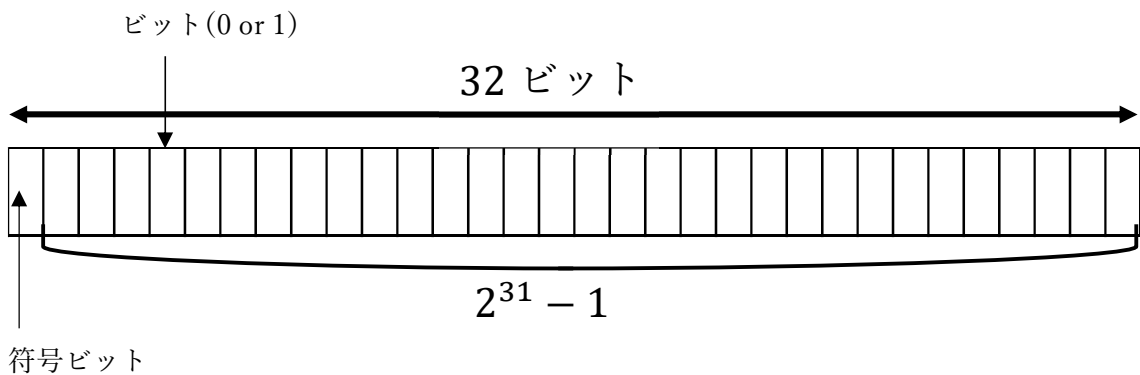


図 4-17 32 ビット整数

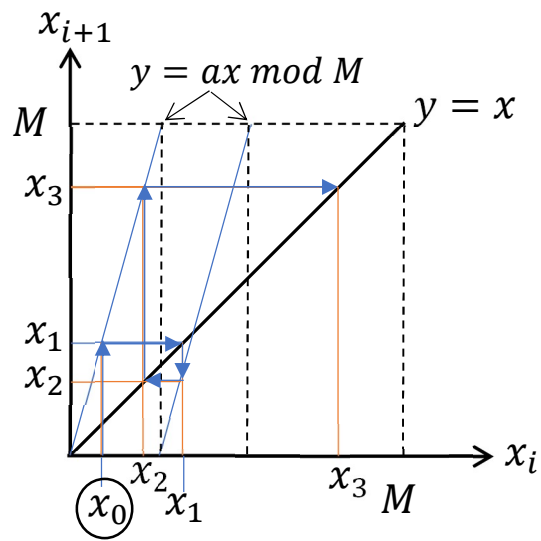


図 4-18 線形合同法の説明図($b=0$)。 $y = ax \bmod M$ の直線は、本来はもっと勾配が急で、蛇腹状の非常に多数の直線で構成される。

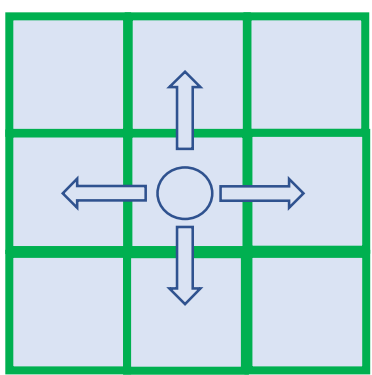


図 4-19 暮盤目上のランダムウォーク

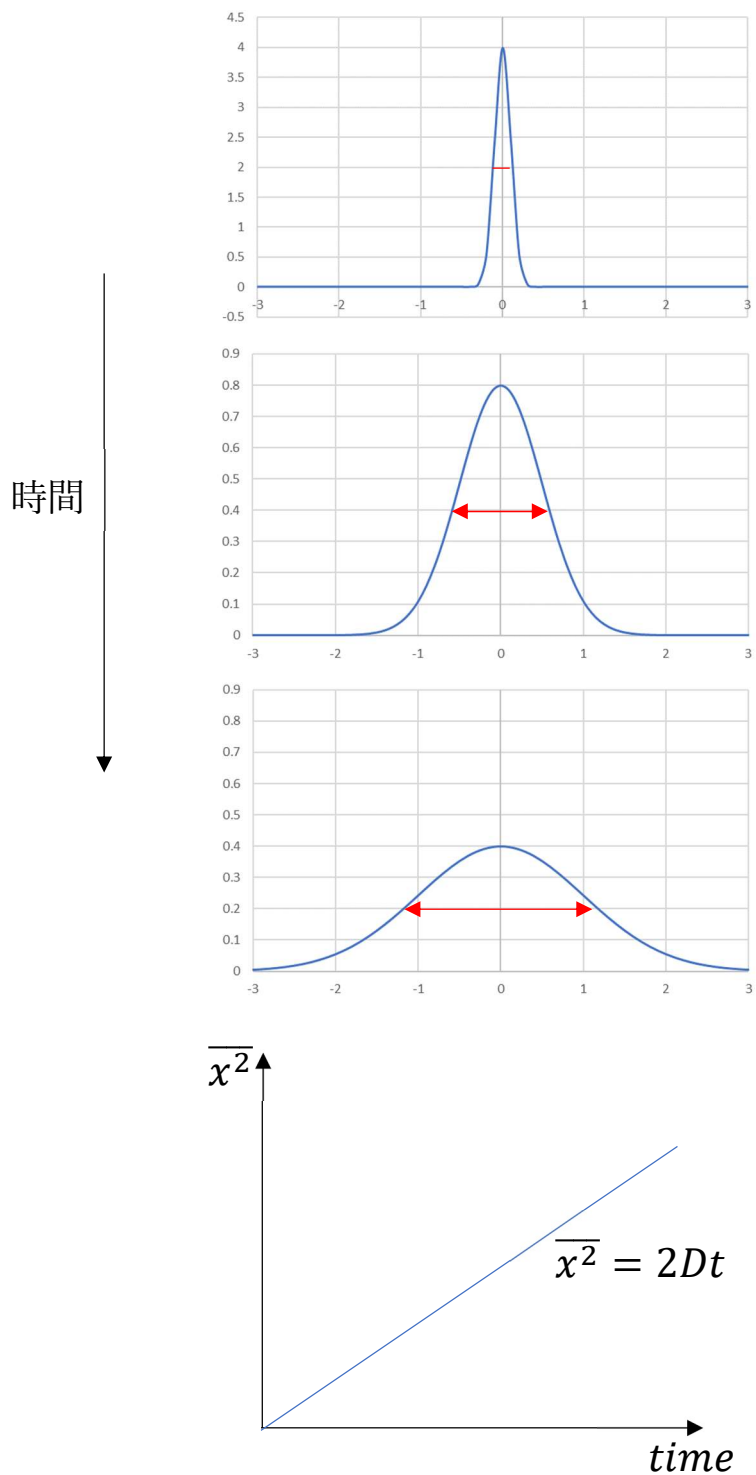


図 4-20 1 次元の拡散

最近接スピン間のエネルギー

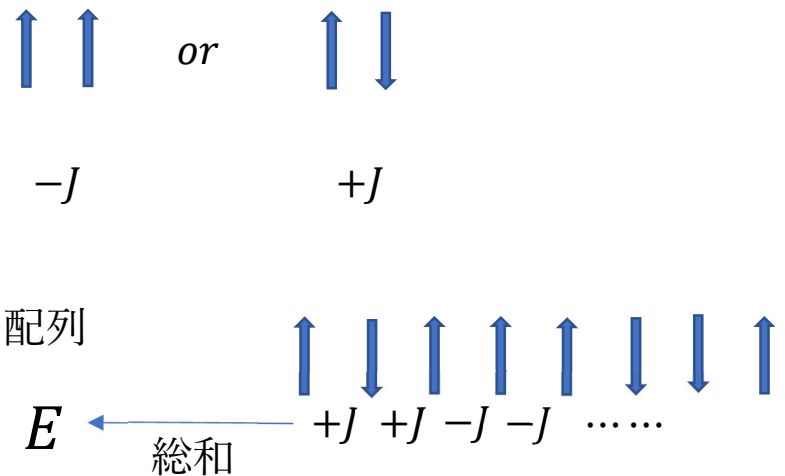


図 4-21 もっとも単純なイジングモデル

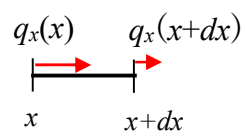


図 4-22 注目した場所、 $x \sim x+dx$ に、1秒間でどれだけ熱エネルギーがたまるか？



図 4-23 長さ L の棒を、はじめ 100°C にして、その後側面を断熱材で覆い、両端を 0°C の氷水につける。

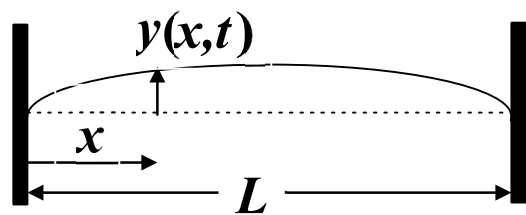


図 4-24 両端が固定された長さ L の弦

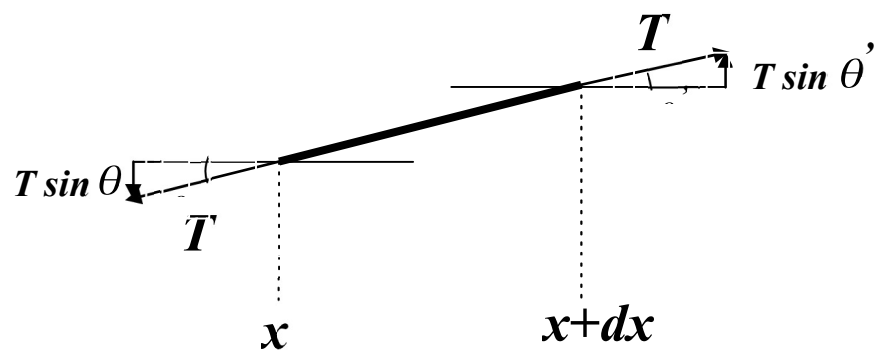
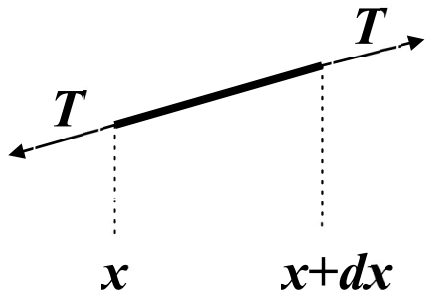


図 4-25 弦の一部、無限小切片

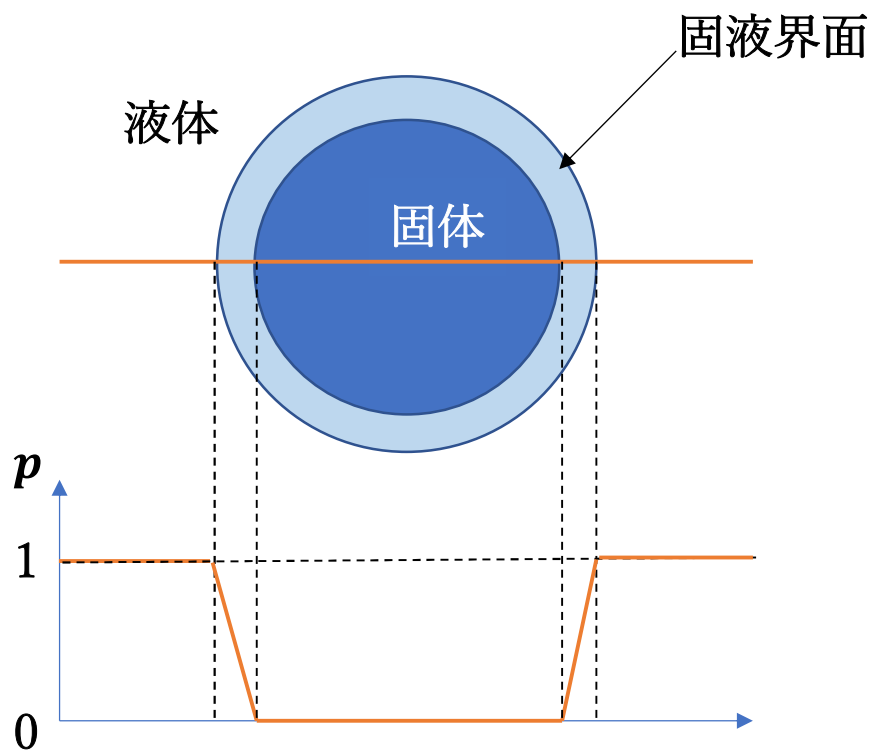


図 4-26 フェーズフィールドの概念図

(a)

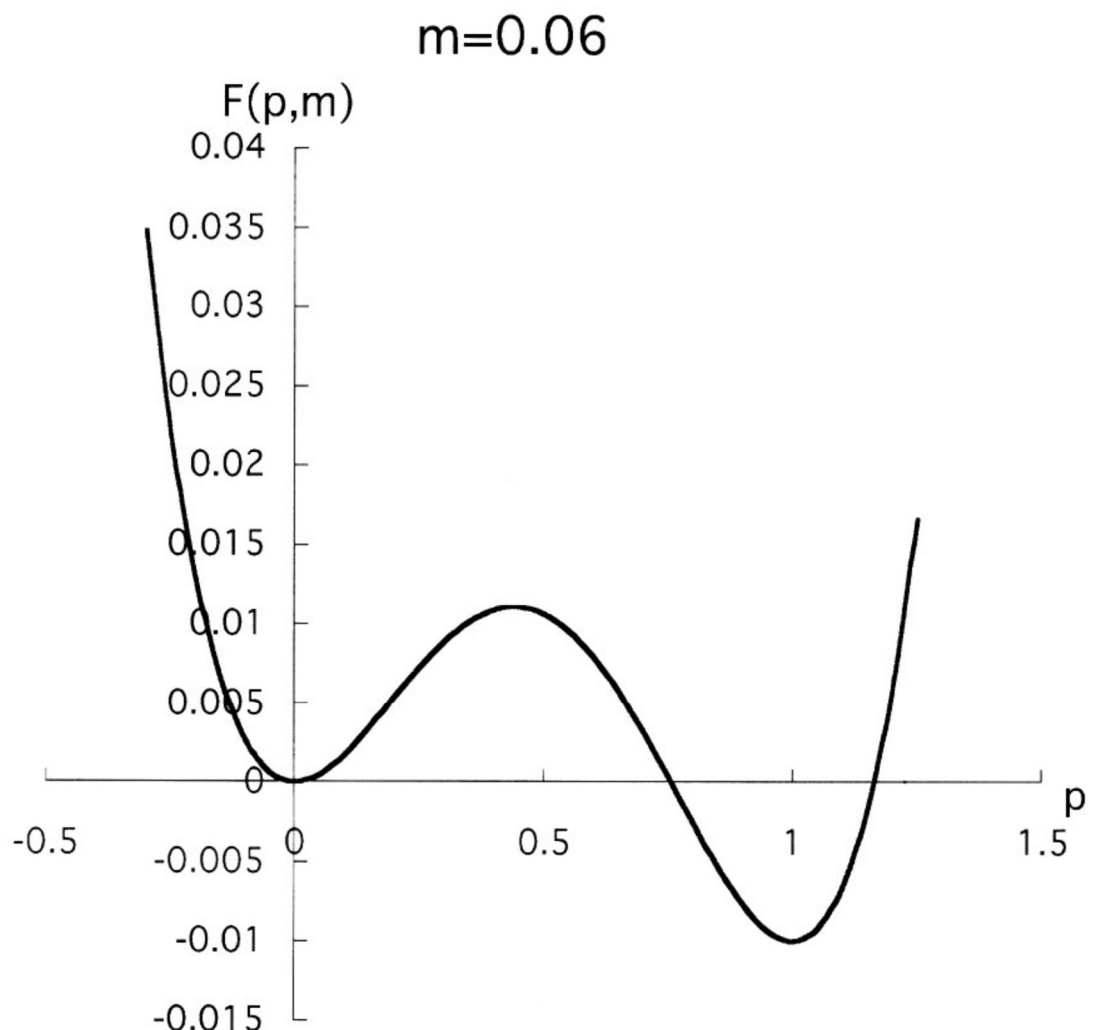


図 4-27

(b)

$m=0$

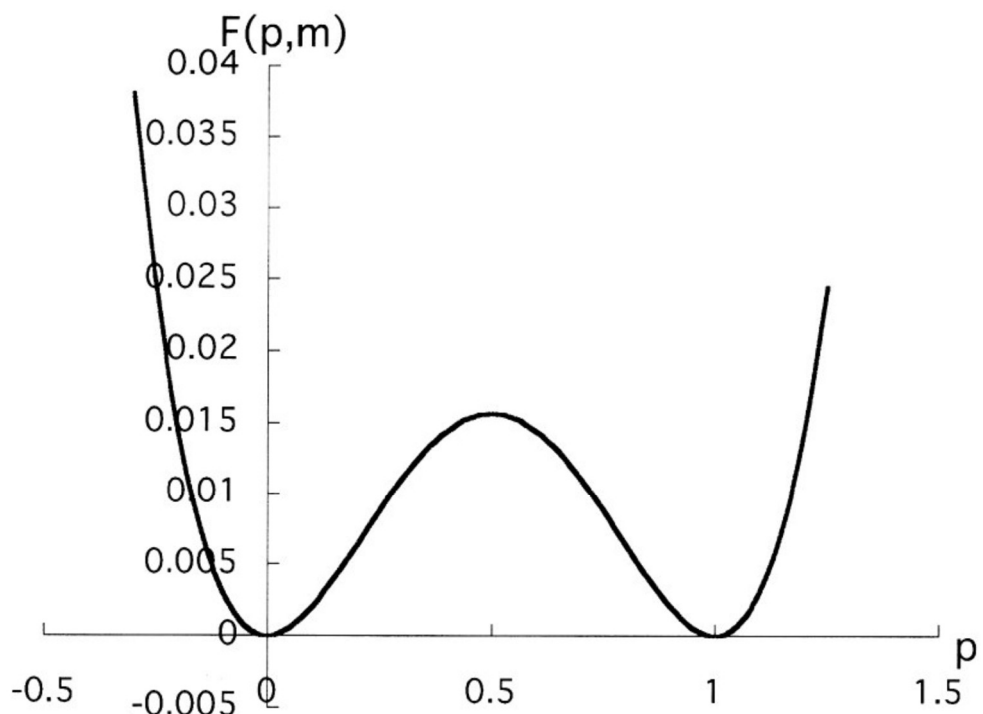


図 4-27

(c)

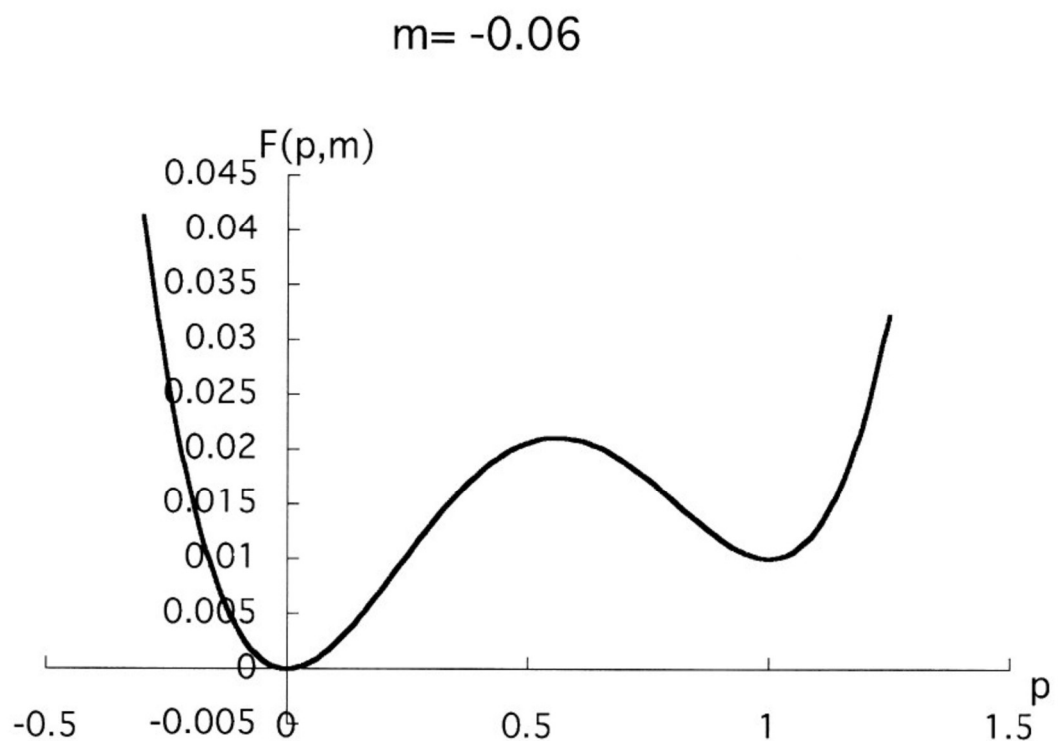


図 4-27 二重井戸ポテンシャル $F(p; m)$ の概形

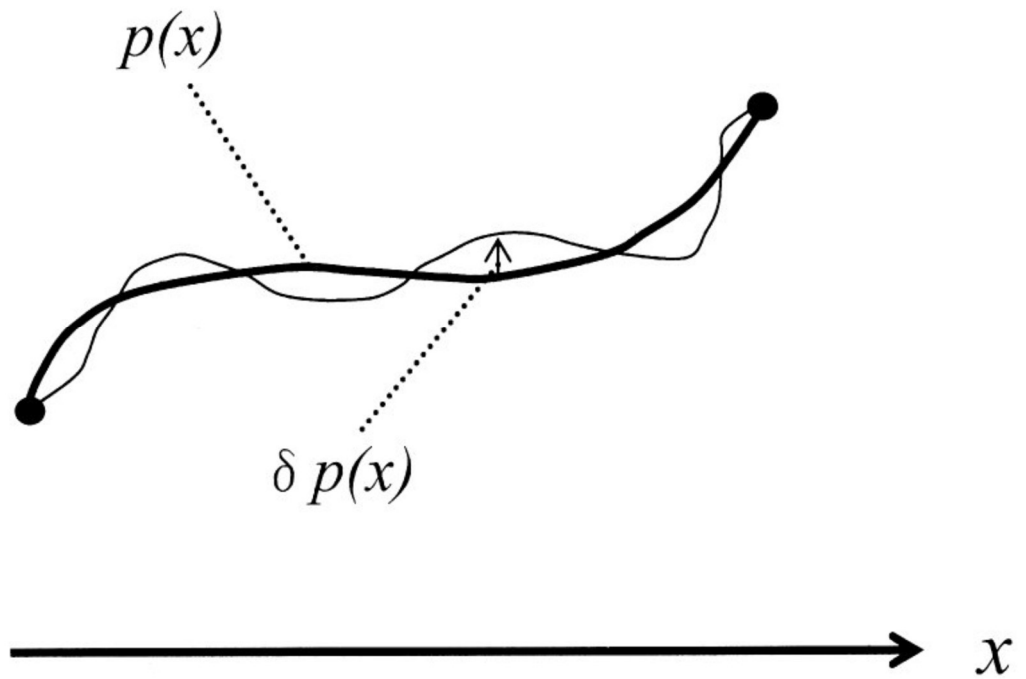


図 4-28 フェーズフィールド $p(x)$ に対する変分 $\delta p(x)$ の模式図。 $x = -\infty, x = +\infty$ (もしくは系の端) で $\delta p(x) = 0$ とする